

УДК 539.26+548.73+549.651.1:552.3

МИНЕРАЛОГИЯ

Г. Г. АФОНИНА, Б. М. ШМАКИН

О ТОРМОЗЯЩЕМ ВЛИЯНИИ ИОНОВ БАРИЯ
НА ПРОЦЕССЫ УПОРЯДОЧЕНИЯ СТРУКТУРЫ КАЛИЕВОГО
ПОЛЕВОГО ШПАТА

(Представлено академиком Н. В. Беловым 25 XII 1969)

Изучая триклинистость калиевых полевых шпатов (КПШ) для решения вопросов генезиса пегматитов и гранитов (8), мы столкнулись с «аномальными» образцами, рентгеновская триклинистость (Δ_p) которых не превышала 0,4 и обычно составляла 0,0—0,2, независимо от генетической позиции КПШ. Спектральными анализами, выполненными Е. С. Костюковой с точностью 10 отн. %, в этих образцах были обнаружены повышенные концентрации бария от 0,7 до 2,6% (табл. 1). Естественно было предположить, что присутствие бария в изученных КПШ, как и в бариевом ортоклазе (7), оказывает тормозящее влияние на процессы упорядочения кристаллической решетки.

Для изучения влияния примеси Ba на упорядоченность КПШ были проведены измерения Δ_p в двух сериях образцов КПШ с известными содержаниями Ba. Изучались образцы гранитоидов, имеющие одинаковую генетическую характеристику и не затронутые процессами постмагматического изменения, т. е. серии, отражающие естественно «старение» горных пород.

Измерения Δ_p проводились на установке ДРОН-1 с использованием спиритуационного счетчика. Излучение — медное. Скорость вращения счетчика 1 град/мин, скорость движения диаграммной ленты 20 мм/мин.

Таблица 1

Содержания Ba и рентгеновская триклинистость (Δ_p) калиевых полевых шпатов из разновидностей пегматитов Мамского района

Краткая характеристика пегматита	При низком содержании Ba		При высоком содержании Ba	
	Ba, %	Δ_p	Ba, %	Δ_p
Гранитовидный (мелкозернистый) пегматит	0,26—0,60	0,48—0,64	0,96—2,65	0,00—0,35
Аплитовая и графическая структуры	0,32—0,59	0,47—0,79	0,89—1,80	0,10—0,30
Зона кварц-мусковитового замещения	0,01—0,06	0,77—0,98	0,71—1,20	0,15—0,40
Зона кварцевого замещения	0,01—0,07	0,88—1,00	—	—

Методика определения величины Δ_p аналогична описанной (6, 8). Рентгенограммы всех образцов соответствовали одной фазе КПШ, т. е. ионы Ba распределены в пустотах каркаса КПШ статистично.

Результаты проведенных измерений показывают, что наблюдается четкая зависимость между степенью упорядоченности кристаллической решетки и содержанием Ba (рис. 1). Присутствие этого элемента-примеси оказывает тормозящее влияние на процесс триклинизации, и тем большее, чем выше концентрация Ba. Обе серии пород образовались при кристал-

лизации из расплава, так что первоначально образованные КПШ были моноклинными⁽²⁾. По мере «старения» пород происходило упорядочение кристаллических решеток КПШ. Характерно, что в более молодых, палеозойских, породах низкая степень упорядочения ($\Delta_p = 0,1 - 0,3$) наблюдается при относительно менее высоких концентрациях Ba по сравнению с докембрийскими породами Мамского слюдоносного района. В последних

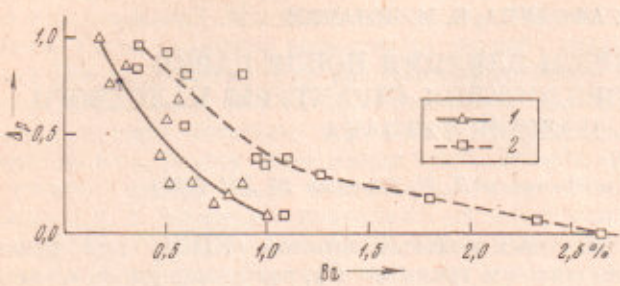


Рис. 1. Содержания бария и рентгеновская триклининость калиевых полевых шпатов из штиртузиновых комплексов Восточной Сибири. 1 — палеозойские гранитоиды, щелочные и пегматитовые сиениты верховьев р. Мама; 2 — протерозойские пегматиты Мамского слюдоносного района

только при содержаниях бария около 1% и выше наблюдаются неупорядоченные КПШ с $\Delta_p = 0,0 - 0,4$. Эта разница обусловлена, по-видимому, тем, что в КПШ относительно молодых пород степень упорядочения еще не достигла максимально возможного значения.

Упорядоченное состояние полевого шпата означает строго фиксированное распределение ионов Al и Si по тетраэдрам кристаллической решетки. В неупорядоченном же моноклинном КПШ ионы Al могут с равной вероятностью находиться в любом тетраэдре. В процессе упорядочения вместо кремниевых положений Si₁ и Si₂ неупорядоченного КПШ появляются положения Si₁(0), Si₁(m), Si₂(0) и Si₂(m), причем в лишенном примесей КПШ алюминий концентрируется в положении Si₁(0).

Кремнекислородные радикалы в структуре полевых шпатов «приспособливаются» к архитектурным конструкциям катионов⁽¹⁾. Очевидно, что характер упорядоченного распределения алюминия по тетраэдрам кристаллической решетки также определяется катионами. В упорядоченной триклинистой модификации КПШ (максимальном микроклине) известен следующий характер заселения тетраэдров алюминием (рис. 2A): Si₁(0) 0,93; Si₁(m) 0,00; Si₂(0) 0,01; Si₂(m) 0,01⁽³⁾. При заполнении части пустот каркаса ионами бария, распределение ионов Al и Si по тетраэдрам приобретает другой характер. В чисто бариевом полевом шпате, цельзиане, алюминий распределен по тетраэдрам следующим образом: Si₁(0) 0,21; Si₁(z) 0,77; Si₂(0) 0,73; Si₂(z) 0,18⁽⁴⁾. Замещение иона калия ионом бария вызывает увеличение вероятности нахождения Al в любом из тетраэдров КПШ, поскольку эти тетраэдры оказываются под влиянием и иона Ba, и ионов K, находящихся в соседних пустотах каркаса. Равновероятное присутствие Al в разных тетраэдрах во-

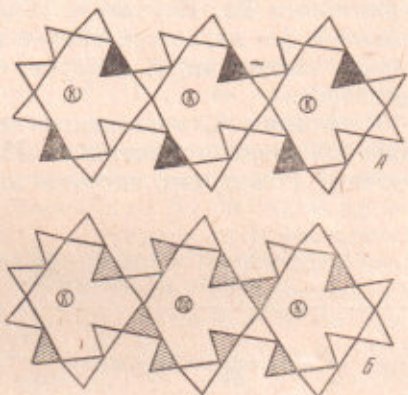


Рис. 2. Схема структуры калиевого полевого шпата. А — упорядоченная триклиническая модификация (максимальный микроклин); Б — неупорядоченная модификация (ортоклаз) с ионом бария в позиции калия. Кремнекислородные тетраэдры показаны светлыми треугольниками, алюминиевые — темными; тетраэдры с равновероятным присутствием Si и Al заштрихованы. Схема дана в проекции на плоскость (001) по В. Тэйлору⁽¹⁰⁾

круг иона Ва означает меньшую степень упорядоченности кристаллической решетки КПШ.

Из рис. 2Б видно, что неупорядоченное распределение алюминия и кремния по тетраэдрам, окружающим ион Ва, вызывает неупорядоченность и в соседних участках решетки, но в меньшей степени. Каждую ячейку, содержащую ион Ва, окружает несколько ячеек с частичной упорядоченностью. Следовательно, по мере увеличения концентрации бария в КПШ, вначале возрастает количество ячеек с частичным «беспорядком», а затем — с максимальным «беспорядком». Отсюда — обратная зависимость между содержанием Ва в КПШ и степенью триклинистости его решетки (см. рис. 1). При малых концентрациях бария основная масса КПШ в результате «старения» пород или каких-нибудь воздействий на решетку может перейти в упорядоченное состояние.

Кроме Ва, аналогичное тормозящее влияние на процессы упорядочения кристаллической решетки КПШ оказывают примеси Rb (¹), Cs, Na, Pb и других элементов. Во всех случаях, независимо от радиуса и валентности, механизм влияния должен быть аналогичным изложенному, причем при увеличении концентрации элементов-примесей следует ожидать усиления «торможения» — вплоть до концентраций, при которых КПШ всегда остается моноклинным. Возможность такого влияния необходимо учитывать во всех работах, использующих степень симметрии кристаллической решетки КПШ для оценки условий минералообразования.

Вхождение примесей Ва и других элементов-примесей в КПШ определяется, в числе прочих факторов, и температурой их кристаллизации (см. табл. 1 и (²)). Наблюдаемая в горных породах степень упорядоченности КПШ не является первичной характеристикой. Она может сохранять информацию о начальном структурном состоянии КПШ лишь в некоторых случаях, когда высокая температура и наличие элементов-примесей в расплаве или растворе обусловили вхождение в состав КПШ достаточного количества примесей-«тормозов». В общем же случае мы фиксируем некоторое метастабильное состояние кристаллической решетки, определяемое структурой первичной кристаллизации, степенью воздействия упорядочивающих факторов и наличием факторов торможения.

Институт геохимии
Сибирского отделения Академии наук СССР
Иркутск

Поступило
1 II 1969

ЦИТИРОВАННАЯ ЛИТЕРАТУРА

- ¹ Н. В. Белов, Кристаллохимия силикатов с крупными катионами, Изд. АН СССР, 1961. ² Н. В. Белов, В кн.: Проблемы геохимии, «Наука», 1965. ³ У. Л. Брэгг, Г. Ф. Кларингбулл, Структура минералов, 1967. ⁴ В. В. Гордиенко, И. Е. Каменицев, В сборн. Минералогия и геохимия, в. 2, Л., 1967. ⁵ Б. Г. Лопатин, В. И. Герасимов, Зап. Всесоюзн. мин. общ., 97, в. 1 (1968). ⁶ А. С. Марфунин, Тр. Инст. геол. рудн. месторожд., в. 78 (1962). ⁷ Б. М. Шмакин, Изв. высш. учебн. завед., Геология и разведка, № 4 (1967). ⁸ Б. М. Шмакин, Г. Г. Афонина, ДАН, 173, № 2 (1967). ⁹ B. E. Brown, S. W. Baily, Abstract of Paper Presented to Geol. Soc. Am. Nov., 1961. ¹⁰ W. H. Taylor, Zs. Kristallogr., 85 (1933).